

# 極値統計解析における不偏性条件式ならびに 漸近理論による信頼区間の推定

泉 宮 尊 司\*・斎 藤 雅 弘\*\*

## 1. 緒 言

ある限られた標本数の極値データから確率波高を精度よく推定するためには、バイアスがなく、しかも推定される確率統計量の分散がより小さい推定法を用いることが望ましい。これまで数多くの数値シミュレーションが行われ、これらの検証や信頼区間の経験式が提案されている(合田, 1988, 1990, 山口ら, 1995, 1996)。しかしながら、これらの数値シミュレーションによる検討も、母分布関数や母数の値が異なると、結果も相違することが指摘されており(山口ら, 1996), 一般的かつ普遍的な結論が出せない状況にある。

一方、プロッティング公式に関しては、有限の標本数に対してバイアスのない公式が確立されたとは言い難く、母関数が異なればバイアスが生じることも指摘されている。さらに、信頼区間の推定については、厳密にかつ理論的に評価しようとすると、最小二乗法では順序統計量の同時確率分布を用いて、やや複雑な数値計算をしなければならないので、実用に供せられるような公式を得ることはかなり困難である。

そこで本研究では、まずプロッティング公式を用いた場合の不偏性条件式を示すと共に、波浪極値解析によく用いられているFT-I型分布およびWeibull分布に対して、バイアスのない公式を提案する。また、積率法および最小二乗法を用いた場合のR年確率統計量の分散を、それらの分布に対して漸近理論を用いて理論的に求め、それらの精度についてモンテカルロ法により検討する。

## 2. 最小二乗法における不偏性条件式

最小二乗法における不偏性条件式については、泉宮・斎藤(1997)により簡単に述べられているが、ここではその計算法について少し詳しく述べることにする。最小二乗法を用いた場合には、推定される母数  $\hat{A}$  および  $\hat{B}$  は、順序統計量  $x_i$  の線形結合式で与えられる。

$$\hat{A} = \sum_{i=1}^N g_i x_i, \quad \hat{B} = \sum_{i=1}^N h_i x_i \quad \dots \quad (1)$$

ここに、 $g_i$  および  $h_i$  は次式で表される。

$$g_i = k_i, \quad h_i = \frac{1}{N} - \bar{y} k_i \quad \dots \quad (2)$$

$$\bar{y} = \frac{1}{N} \sum_{i=1}^N y_i, \quad k_i = \frac{y_i - \bar{y}}{\sum_{j=1}^N (y_j - \bar{y})^2} \quad \dots \quad (3)$$

ここに、 $y_i$  は基準化変量であり、FT-I型分布の場合には、

$$y_i = -\ln[-\ln(F_i)], \quad F_i = \frac{i-\alpha}{N+\beta} \quad \dots \quad (4)$$

また、Weibull分布の場合は、

$$y_i = [-\ln(1-F_i)]^{-1/k}, \quad F_i = \frac{i-\alpha}{N+\beta} \quad \dots \quad (5)$$

と表される。上式より、 $y_i$  がプロッティング公式の  $\alpha$  および  $\beta$  の関数となるので、式(1)における係数  $g_i$  および  $h_i$  もそれらの関数となる。式(1)において期待値をとると、バイアスがない場合には真の母数と等しくなることから、

$$E[\hat{A}] = \sum_{i=1}^N g_i E[x_i] = \sum_{i=1}^N g_i \mu_i = A \quad \dots \quad (6)$$

$$E[\hat{B}] = \sum_{i=1}^N h_i E[x_i] = \sum_{i=1}^N h_i \mu_i = B \quad \dots \quad (7)$$

となる。ここに、 $\mu_i = E[x_i]$  は、FT-I型分布の場合、次式で与えられる。

$$\begin{aligned} \mu_i &= \frac{N!}{(i-1)!(N-i)!} \\ &\times \int_0^1 [A \ln(-\ln t) + B] t^{i-1} [1-t]^{N-i} dt \\ &= AI_i + B \end{aligned} \quad \dots \quad (8)$$

ここに、

$$\begin{aligned} I_i &= \frac{N!}{(i-1)!(N-i)!} \\ &\times \int_0^1 [-\ln(-\ln t)] t^{i-1} [1-t]^{N-i} dt \end{aligned} \quad \dots \quad (9)$$

である。Weibull分布の場合には、形状母数を  $k$  とする、 $I_i$  は

$$\begin{aligned} I_i &= \frac{N!}{(i-1)!(N-i)!} \\ &\times \int_0^1 [-\ln(1-t)]^{1/k} t^{i-1} [1-t]^{N-i} dt \end{aligned} \quad \dots \quad (10)$$

\* 正会員 工博 新潟大学教授 工学部建設学科  
\*\* 工修 新潟県



$$\begin{aligned} p(x_i, x_j) &= \frac{N!}{(i-1)!(j-i-1)!(N-j)!} \\ &\times [F(x_i)]^{i-1} [F(x_j) - F(x_i)]^{j-i-1} \\ &\times [1 - F(x_i)]^{N-j} f(x_i) f(x_j) \quad \dots \dots \dots (28) \end{aligned}$$

と表せる (Rao, 1977)。ここで、順序の入れ替わることのない 1 対 1 対応の付く次の変換を考えて、 $\xi_i$  と  $\xi_j$  の漸近分布を考えることにする。

$$\xi_i = F(x_i), \quad \xi_j = F(x_j) \dots (i < j) \quad \dots \dots \dots (29)$$

この変換により、 $\xi_i$  と  $\xi_j$  の同時確率密度関数  $\psi(\xi_i, \xi_j)$  は、

$$\begin{aligned} \psi(\xi_i, \xi_j) &= p(x_i, x_j) |J| \\ &= \frac{N!}{(i-1)!(j-i-1)!(N-j)!} [\xi_i]^{i-1} \\ &\times [\xi_i, \xi_j]^{j-i-1} [\xi_i, \xi_j]^{N-j} \quad \dots \dots \dots (30) \end{aligned}$$

となる。ここに、 $|J|$  は Jacobian である。 $\xi_i$  の期待値は、 $i/(N+1)$  となるが、 $N \rightarrow \infty$  に対して、 $p_i = (i-\alpha)/(N+\beta)$  と等しくなるので、次の変換を考える。

$$z_i = \sqrt{N} \left\{ \xi_i - \frac{i-\alpha}{N+\beta} \right\}, \quad z_j = \sqrt{N} \left\{ \xi_j - \frac{j-\alpha}{N+\beta} \right\} \quad \dots \dots \dots (31)$$

この時、 $z_i$  および  $z_j$  の同時確率分布は、比例係数を除いた部分は次式となる。

$$\begin{aligned} \psi(z_i, z_j) &\sim \left\{ \frac{z_i}{\sqrt{N}} + p_i \right\}^{i-1} \left\{ \frac{z_j - z_i}{\sqrt{N}} + (p_j - p_i) \right\}^{j-i-1} \\ &\times \left\{ 1 - \frac{z_j}{\sqrt{N}} - p_i \right\}^{N-j} \\ &\sim \left\{ 1 + \frac{z_i}{\sqrt{N}p_i} \right\}^{i-1} \left\{ 1 + \frac{z_j - z_i}{\sqrt{N}(p_j - p_i)} \right\}^{j-i-1} \\ &\times \left\{ 1 - \frac{z_j}{\sqrt{N}(1-p_i)} \right\}^{N-j} \quad \dots \dots \dots (32) \end{aligned}$$

ここに、 $p_j = (j-\alpha)/(N+\beta)$  である。ここで、上式の対数をとり、

$$\log(1-x) = -x - x^2/2 - \dots, \quad (x \ll 1) \quad \dots \dots \dots (33)$$

なる関係を用いると、 $N \rightarrow \infty$  に対して、

$$\ln \psi(x_i, x_j) \sim -\frac{1}{2} \left\{ \frac{z_i^2}{p_i} + \frac{(x_j - z_i)^2}{(p_j - p_i)} + \frac{z_j^2}{(1-p_i)} \right\} \quad \dots \dots \dots (34)$$

となる。したがって、 $z_i$  と  $z_j$  は漸近的に 2 次元正規分布に従うことになる。ここで、 $z_i$  と  $z_j$  との共分散行列を  $(R_{ij})$  とすると、式 (34) より、

$$\left. \begin{aligned} R_{ij} &= \frac{1}{(p_j - p_i)}, \quad R_{ii} = \frac{1}{p_i} + \frac{1}{(p_j - p_i)} \\ R_{ii} &= \frac{1}{(1-p_i)} + \frac{1}{(p_j - p_i)} \end{aligned} \right\} \quad \dots \dots \dots (35)$$

なる関係が成立するため、 $|R| = p_i(1-p_i)(p_j-p_i)$  を得る。また、 $R_{ij}$  および  $R_{ii}$  は次式で与えられる。

$$R_{ij} = p_i(p_j - p_i), \quad R_{ii} = p_i(1-p_i) \quad \dots \dots \dots (36)$$

この  $(z_i, z_j)$  に関する共分散行列より、 $(x_i, x_j)$  に関する共

分散行列  $C_{ij}$  は、変換の Jacobian を用いて次式となる。

$$C_{ij} = \frac{p_i(1-p_j)}{Nf(x_{ip})f(x_{jp})}, \quad (i < j) \quad \dots \dots \dots (37)$$

$i > j$  の時は、上式の右辺のみを  $i$  と  $j$  入れ換えた式となる。FT-I 型分布の場合には、 $i < j$  に対して、

$$C_{ij} = \frac{6\sigma^2(N+\alpha+\beta-i)}{N\pi^2(j-\alpha)\ln\left[\frac{i-\alpha}{N+\beta}\right]\ln\left[\frac{j-\alpha}{N+\beta}\right]} \quad \dots \dots \dots (38)$$

となる。また、Weibull 分布の場合には、同じく  $i < j$  に対して、

$$C_{ij} = \frac{\frac{A^2(i-\alpha)}{N(N+\alpha+\beta-i)k^2\left\{\ln\left[\frac{N+\alpha+\beta-i}{N+\beta}\right]\right\}}}{\left(\times\ln\left[\frac{N+\alpha+\beta-j}{N+\beta}\right]\right)^{1-1/k}} \quad \dots \dots \dots (39)$$

となる。ここに、 $A^2 = \sigma^2 / (\Gamma_{12k} - \Gamma_{11k}^2)$  である。

以上より、式(26)とそれぞれの分布に対して、式(38)あるいは式(39)の関係を用いることによって、 $\hat{x}_k$  の分散を評価することができる。なお、部分極値資料の場合には、全極大値資料の数を  $N_T$ 、採択した極値資料の数を  $N$  とするとき、式(26)の  $(i, j)$  を  $(i, j) = N_T - N + 1$  から  $N_T$  まで足し算を行えばよく、この評価式は部分極値資料に対しても適用可能である。

#### 4. 数値シミュレーションによる検証

##### 4.2 バイアスなしのプロッティング公式

バイアスなしのプロッティング公式および確率統計量の分散の理論式の適用性を調べるために、モンテカルロ法により数値シミュレーションを行った。対象とした確率分布関数は、FT-I 型分布および Weibull 分布であり、標本数  $N$  を  $N=10, 20, 30, 40, 50, 60, 100$  と設定し、5000 個の資料を作成して、確率統計量のバイアスおよび分散を算定した。

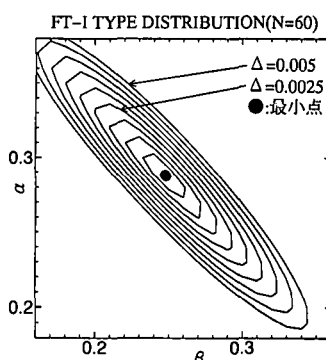


図-1 誤差ノルム  $\Delta$  の分布 ( $N=60$ )

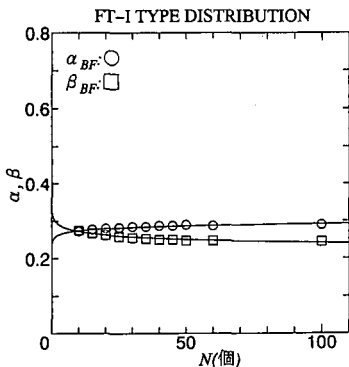
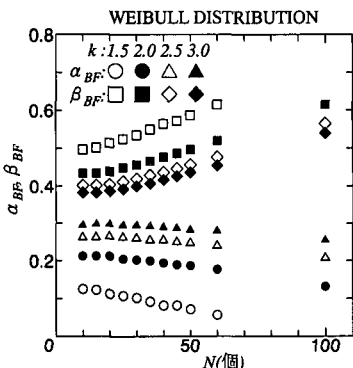
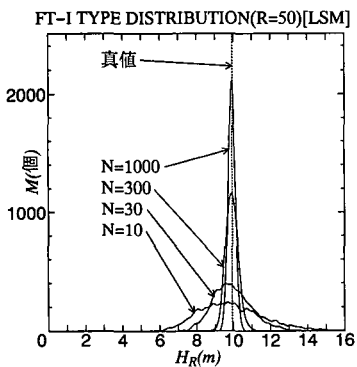
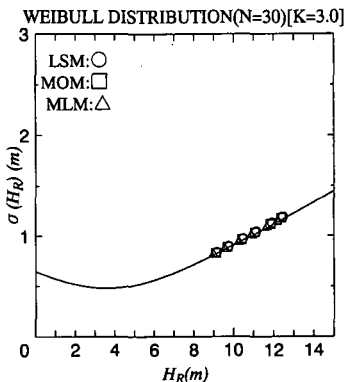
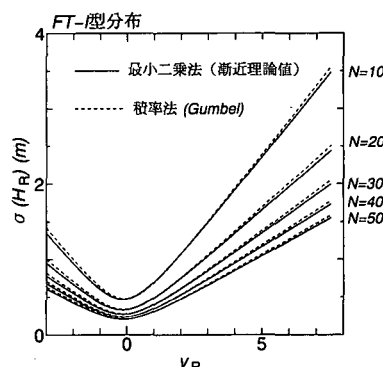
図-2 不偏性条件を満たす  $\alpha$  および  $\beta$  の値 (FT-I 型分布)図-3 不偏性条件を満たす  $\alpha$  および  $\beta$  の値 (Weibull 分布)図-4 50 年確率統計量の標本数  $N$  に対する分布

図-1 は、式(14)で定義される誤差ノルムの等值線を示したものである。この図より、誤差ノルムはほぼ楕円分布しており、その極小値を格子探索法により求めて、バイアスなしのプロッティング公式を得ている。

このようにして得られた  $\alpha$  および  $\beta$  の値を、標本数  $N$  に対してプロットしたものが、図-2 および図-3 である。図-2 は、FT-I 型分布の結果であり、図-3 は Weibull 分布に対するものである。FT-I 型分布の場合に

図-5  $R$  年確率統計量の標準偏差の比較 (Weibull 分布,  $k=3.0$ )図-6  $R$  年確率統計量の標準偏差の漸近理論値との比較 (FT-I 型分布)

は、標本数に殆ど寄らずほぼ一定の値となっていることが分かる。これに対して、Weibull 分布では、形状母数  $k$  の値が小さいほど、標本数に依存して有意に変化している。また、形状母数  $k$  の値が小さいほど、 $\alpha$  の値は小さく、かつ  $\beta$  の値は大きくなっていることが分かる。

#### 4.2 確率統計量の分散の推定結果

一般に推定された母数を用いて、例えば 50 年確率統計量を推定した場合、それは確定的に定まるものではなく、漸近的に正規分布する確率変数となる。数値シミュレーションによって、それを確認したものが図-4 である。この図は、FT-I 型分布の標本を用いて、最小二乗法により 50 年確率統計量を推定した結果である。標本数  $N=30$  程度でやや非対称性が認められるものの正規分布に近くなっていることが分かる。したがって、その推定精度はほぼその分散あるいは標準偏差で計ることが可能である。

図-5 は、母分布関数が Weibull 分布で、標本数が  $N=30$  の時の  $R$  年確率統計量の標準偏差を示したものである。図中の実線は、式(23)の積率法の標準偏差の漸近

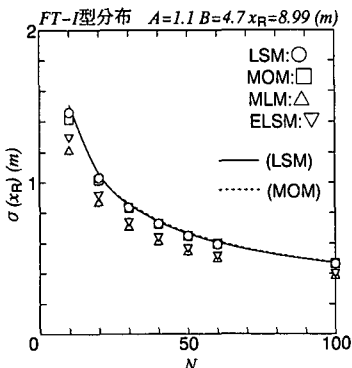


図-7 50年確率統計量の標準偏差の漸近理論値の比較  
(FT-I型分布)

理論値である。この理論値と数値計算結果との一致度は高く、負のバイアスを伴う最尤法(MLM)の結果も、それぞれ $H_R$ の値が小さい方へ移動しても、その曲線上にあるのは非常に興味深いものである。

図-6は、FT-I型分布( $A=1.39$ ,  $B=4.5$ )の場合の $R$ 年確率統計量の標準偏差の漸近理論値を示したものである。実線が最小二乗法の理論値、破線は積率法のそれである。この条件では、両者に大きな差異は見られないが、基準化変量 $y_R$ の値が3以上で、最小二乗法の標準偏差の方が多少小さくなっている。

FT-I型分布( $A=1.1$ ,  $B=4.7$ )に対する50年確率波高( $H_{50}=8.99\text{ m}$ )の標準偏差のシミュレーション結果と理論値とを比較したものが、図-7である。最小二乗法(LSM)、積率法(MOM)、最尤法(MLM)および泉宮・斎藤(1997)による推定法(ELSM)の結果も同時に示している。この分布の場合には、最小二乗法および積率法の理論値に殆ど差異はなく、数値計算とほぼ同様の結果となっている。この図には示していないが、プロッティング公式にGringorten公式を用いると、式(26)による標準偏差は約1%小さくなり、Weibull公式を用いた場合には約2~3%小さく、よりシミュレーション結果と一致することが確認された。

図-8は、Weibull分布( $A=4.36$ ,  $B=0.75$ ,  $H_{50}=9.37\text{ m}$ )に対する50年確率波高の標準偏差を比較したものである。この場合には、積率法の方が標準偏差はやや小さい結果となっており、その理論値との一致度も良好である。一方、最小二乗法の結果は、標本数が小さい場合に多少の差異が認められるが、 $N=30$ 以上ではよく一致していると言える。なお、プロッティング公式にWeibull公式を用いても、殆ど同じ標準偏差の値が得られており、これについてはFT-I型分布とは異なる結果であった。

## 5. 結 論

極値統計解析における不偏性条件を示し、有限個の標

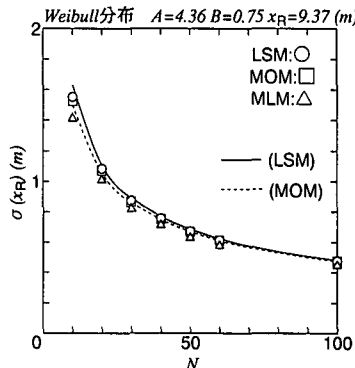


図-8 50年確率統計量の標準偏差の漸近理論値の比較  
(Weibull分布)

本に対してもバイアスのない公式を提案するとともに、高次モーメントおよび漸近理論を用いて、積率法および最小二乗法による確率統計量の標準偏差を評価する理論式を得ることによって、以下の事柄が明かとなった。

(1) 不偏性条件式を満たすバイアスのないプロッティング公式は、FT-I型分布の場合には、標本数にあまり寄らずほぼ一定値となるが、Weibull分布の場合には、形状母数 $k$ の値が小さいほど有意に変化する。

(2) Weibull分布に対する積率法の信頼区間の評価式は、標本数が30以上であればシミュレーション結果と殆ど一致することから、簡便さも含めて適用性が高いと言える。

(3) 最小二乗法を用いた場合の確率統計量の分散は、漸近理論によりかなり精度よく評価することができ、同じく標本数が30以上であれば、実用に供せられるものである。また、この評価法は部分極値資料に対しても、僅かな修正で適用することができる利点を有している。

## 参 考 文 献

- 泉宮尊司・斎藤雅弘(1997): 極値統計解析における順序統計量の分散を考慮した母数推定法、海岸工学論文集、第44巻、pp. 181-185.
- 合田良実(1988): 極値統計におけるプロッティング公式ならびに推定値の信頼区間にに関する数値的検討、港湾研究所報告、第27巻、第1号、pp. 31-92.
- 合田良実(1990): 港湾構造物の耐波設計—波浪工学への序説一、鹿島出版会、333 p.
- 山口正隆・畠田佳男・中村雄二・大木泰憲(1995): 波高的極値統計解析における母数推定法の比較、海岸工学論文集、第42巻、pp. 231-235.
- 山口正隆・大木泰憲・前川隆海(1996): 最小2乗法に基づく極値統計解析システムの精度の検討、海岸工学論文集、第43巻、pp. 231-235.
- Gringorten, I. I. (1963): A plotting rule for extreme probability paper, J. Geophys. Res., Vol. 68, No. 3, pp. 813-814.
- Rao, C. R. (1977): Linear Statistical Inference and Its Applications, John Wiley and Sons, 奥野忠一他訳、統計的推測とその応用、東京図書、568 p.